

1) $n \frac{HI}{IA} = \frac{HI}{IA_1} \rightarrow n \frac{HI}{HA} \sim \frac{HI}{HA_1} \rightarrow n \overline{HA_1} \sim \overline{HA}$

2) $p' - p = D_1$ (Mayer !) $\rightarrow p = \frac{D_1}{\gamma-1}$ et $p' = \frac{\gamma D_1}{\gamma-1}$ (C_v et C_p !) $\rightarrow f' = -\frac{\gamma D_1}{(\gamma-1)^2}$

3) On pose $x = -\gamma$ et on étudie la fonction $u(x) = \frac{(x+1)^2}{x}$: Elle est minimale en $x = 1 \rightarrow f' < \frac{D_1}{4}$

Bessel-Silbermann !

4) $HA_1 = \frac{2}{3}L \rightarrow D_1 = 9 \text{ cm} \rightarrow f' = 2 \text{ cm} \rightarrow p' = 6 \text{ cm}$

5) Il faut diminuer f' ce qui entraîne une diminution de $|p|$ incompatible avec l'approximation de Gauss.

6) $2a > l_c = 100 \mu\text{m}$ (Par exemple)

7) A partir des relations de Descartes $\frac{1}{p'-e'} + \frac{1}{|p|+e} = \frac{1}{f'} \rightarrow \frac{1}{p'-e'} + \frac{1}{|p|} \left(1 - \frac{e}{|p|}\right) \sim \frac{1}{f'} \quad \text{et} \quad \frac{1}{p'} + \frac{1}{|p|} = \frac{1}{f'}$

On en déduit que $\frac{e'}{p'-e'} = \frac{ep'}{p^2}$ Puis le théorème de Thalès nous permet d'écrire $\frac{e'}{p'-e'} = \frac{\phi}{d}$

Ainsi $\phi = \frac{dep'}{p^2} = \frac{\gamma de}{p}$ [On est proche de l'exercice 3 du TD optique géométrique]

8) $\frac{\gamma de}{p} > |\gamma|a \rightarrow d > \frac{a|p|}{e} = 10 \text{ cm} = 5f'$ (Incompatible avec l'approximation de Gauss)

9) Les rayons réfracté et réfléchi sont dans le plan d'incidence (Plan formé par la normale au dioptre et le rayon incident). De plus, $i_1 = -i'_1$ (orientation non obligatoire) et $\mathbf{n}_1 \sin i_1 = \mathbf{n}_2 \sin i_2$ (Figure 7)

10) Il y réflexion totale s'il n'y a pas de rayon réfracté : $\sin i_1 > \frac{n_2}{n_1}$

11) Figure 2, nous voyons que $\sin \frac{\pi}{4} = \frac{\sqrt{2}}{2}$ est supérieur à $\frac{1}{n} = \frac{2}{3}$: Le doigt n'est pas éclairé.

12) Cours ; Le vide (sans limite) est non dispersif, la relation de dispersion est linéaire : $v_\phi = \frac{\omega}{k} = c$

13) La relation de dispersion n'est plus linéaire : $v_\phi(\lambda_0) = \frac{\omega}{k} = \frac{c}{n(\lambda_0)}$

14 & 15) La relation I.1 est l'écriture de la continuité de \vec{E} en $z = 0$. Notamment en $x = 0$, $\mathbf{1} + \underline{r} = \underline{t}$

16) La relation I.1 étant valable pour tout x , les pulsations spatiales sont égales : $k_{ix} = k_{rx} = k_{tx} \Leftrightarrow nk_0 \sin i_1 = -nk_0 \sin i'_1 = k_0 \sin i_2 \rightarrow i_1 = -i'_1$ et $\mathbf{n} \sin i_1 = \sin i_2$

17) La continuité de \vec{B} en $z = 0$ permet d'écrire $\vec{k}_i \wedge \vec{E}_i + \vec{k}_r \wedge \vec{E}_r = \vec{k}_t \wedge \vec{E}_t$, relation que l'on projette sur \vec{e}_x : $(\vec{E}_i \wedge \vec{e}_x) \cdot \vec{k}_i + (\vec{E}_r \wedge \vec{e}_x) \cdot \vec{k}_r = (\vec{E}_t \wedge \vec{e}_x) \cdot \vec{k}_t \rightarrow \mathbf{k}_{iz} - \underline{r} \mathbf{k}_{rz} = \underline{t} \mathbf{k}_{tz}$
[En effet, en combinant I.2 et I.3 on obtient bien les expressions de \underline{r} et \underline{t} données ($k_{rz} = k_{iz}$)]

18) $\vec{k}_i = \mathbf{n} \mathbf{k}_0 (\sin i_1 \vec{e}_x + \cos i_1 \vec{e}_z)$

19-20) En effet, $k_{tx}^2 + k_{tz}^2 = k_0^2$ (Euclide, Pythagore ...) donc $k_{tz}^2 = k_0^2(1 - \sin^2 i_2) = k_0^2(1 - n^2 \sin^2 i_1)$

Si $\sin i_1 < \frac{1}{n}$, $k_{tz} = \mathbf{k}_0 \sqrt{1 - n^2 \sin^2 i_1} \rightarrow \vec{E}_t = \underline{t} E_0 \vec{e}_y \exp(-j(\omega t - nk_0 \sin i_1 x - k_0 z \sqrt{1 - n^2 \sin^2 i_1}))$

Situation de réfraction avec une onde progressive suivant x et z .

$$\text{Si } \sin i_1 > \frac{1}{n}, k_{tz} = jk_0 \sqrt{n^2 \sin^2 i_1 - 1} = \frac{j}{\delta} \text{ avec } \delta = \frac{\lambda_0}{2\pi \sqrt{n^2 \sin^2 i_1 - 1}}$$

$$\rightarrow \vec{E}_t = \underline{t} E_0 \vec{e}_y \exp\left(-\frac{z}{\delta}\right) \exp(-j(\omega t - nk_0 \sin i_1 x))$$

Réflexion totale avec une onde **stationnaire amortie (évanescence) suivant z et progressive suivant x**.

L'onde pénètre l'air sur une distance de quelques δ sans pour autant se propager dans la direction \vec{e}_z .

Si l'onde ne se propage pas, l'énergie non plus : La coordonnée du vecteur de Poynting sur \vec{e}_z contient un produit " $\sin(\omega t - nk_0 \sin i_1 x) \cos(\omega t - nk_0 \sin i_1 x)$ " de valeur moyenne nulle.

[Toute cette partie est très proche du problème A du TD électromagnétisme]

$$21) \text{ L'équation vérifiée par } \Phi_G(x) \text{ est } \frac{d^2 \Phi_G}{dx^2} + \frac{2m}{\hbar^2} \mathcal{E} \Phi_G(x) = 0 \text{ donc } \mathbf{k} = \frac{\sqrt{2m\mathcal{E}}}{\hbar}$$

$$22) \text{ L'équation vérifiée par } \Phi_D(x) \text{ est } \frac{d^2 \Phi_D}{dx^2} + \frac{2m}{\hbar^2} (\mathcal{E} - V_0) \Phi_D(x) = 0 \text{ donc } \underline{q} = \frac{\sqrt{2m(\mathcal{E}-V_0)}}{\hbar} \text{ si } \mathcal{E} > V_0$$

et $\underline{q} = \frac{j\sqrt{2m(V_0-\mathcal{E})}}{\hbar}$ si $\mathcal{E} < V_0$ **D est nul** dans les deux cas (sens de propagation droite - gauche impossible ou limite infinie de $\Phi_D(x \rightarrow \infty)$ intolérable).

$$23) \text{ Continuités : } A + B = C \text{ et } k(A - B) = \underline{q}C \rightarrow \underline{r} = \frac{B}{A} = \frac{1-\underline{v}}{1+\underline{v}} \text{ et } \underline{t} = \frac{C}{A} = \frac{2}{1+\underline{v}} \quad (\text{Page 4 !})$$

$$24) \text{ Grâce à l'analogie avec le vecteur densité de courant de charge } \vec{j} = \rho_{mob} \vec{v}, \text{ on écrit } \vec{J} = |\Phi|^2 \frac{\hbar}{m} \vec{k}$$

$$R = \frac{\|\vec{j}_r\|}{\|\vec{j}_i\|} = \underline{r}^2 = \left(\frac{1-\underline{v}}{1+\underline{v}}\right)^2 \quad T = \frac{\|\vec{j}_t\|}{\|\vec{j}_i\|} = \underline{v} \underline{t}^2 = \frac{4\underline{v}}{(1+\underline{v})^2} = \mathbf{1} - R \quad \text{Evènements complémentaires !}$$

$$25) \Psi_D(x) = C \exp\left(-\frac{\sqrt{2m(V_0-\mathcal{E})}}{\hbar} x\right) \exp(-j\omega t) \quad \text{Il n'y a pas de propagation de la fonction d'onde : } T = 0$$

$$26) \quad k_{tz}^2 < 0 \text{ et } k_{tz} \in j\mathbb{R} \quad \underline{v} = j \sqrt{\frac{V_0}{\mathcal{E}} - 1} \quad \underline{r} = \frac{\sqrt{\mathcal{E}} - j\sqrt{V_0 - \mathcal{E}}}{\sqrt{\mathcal{E}} + j\sqrt{V_0 - \mathcal{E}}}$$

$$\underline{v} = \frac{j}{n \cos i_1} \sqrt{n^2 \sin^2 i_1 - 1} = j \sqrt{\frac{n^2 - 1}{n^2 - n^2 \sin^2 i_1} - 1} \quad \text{Existence d'un champ } (\vec{E}; \vec{B}) \text{ non nul ...}$$

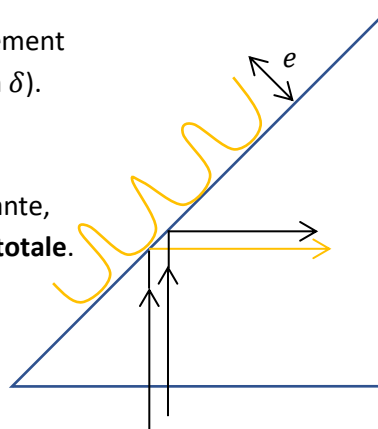
$$27) \text{ D'après le résultat à la question 25, on voit que } \kappa \text{ joue le rôle de } \frac{1}{\delta}.$$

$$\text{On calcule } \delta = \frac{\lambda_0}{2\pi \sqrt{n^2 \sin^2(\frac{\pi}{4}) - 1}} = 284 \text{ nm} \ll e = 30 \mu\text{m} \rightarrow T \sim \exp\left(-\frac{2\sqrt{2}e}{\delta}\right) < 10^{-100}$$

L'application du doigt sur la face externe du prisme limite le développement de l'onde évanescente là où il n'y a pas assez d'épaisseur d'air (environ δ).

À ces endroits, la lumière éclaire **les parties saillantes** de la peau qui la rediffuse **avec sa couleur**. La réflexion totale est frustrée.

Alors que dans **les creux des sillons**, l'épaisseur d'air e est trop importante, l'onde évanescante s'établit sur une large couche et **la réflexion reste totale**.



$$28 \& 29) \quad V(r) = \frac{2(Z-2)e^2}{4\pi\varepsilon_0 r} = \frac{2(Z-2)\hbar c \alpha}{r} \quad N(T) = N(t=0) \exp(-\lambda T) = \frac{N(t=0)}{2} \rightarrow T = \frac{\ln 2}{\lambda}$$

$$30) \quad \mathcal{E}_c = \mathcal{E}_\alpha + V_0 = \frac{1}{2}mv^2 \rightarrow v = \sqrt{\frac{2(\mathcal{E}_\alpha + V_0)}{m}} = \frac{2R}{\Delta t} = 2Rf \quad \text{Avec } \Delta t \text{ la durée entre deux collisions}$$

$$31) \quad \log T = \frac{\gamma}{\ln 10} - \log f + \log(\ln 2) = \frac{2(Z-2)\alpha\pi\sqrt{2mc^2}}{\ln 10 \sqrt{\mathcal{E}_\alpha}} - \log\left(\frac{c}{2R} \sqrt{\frac{2(\mathcal{E}_\alpha + V_0)}{mc^2}}\right) - \frac{8(Z-2)\alpha\sqrt{2mc^2}}{\ln 10 \sqrt{V_m}} + \log(\ln 2)$$

Ce qui est remarquable (et qui est resté longtemps un mystère) dans la radioactivité alpha, c'est la grande variation de T pour une faible évolution de \mathcal{E}_α . D'après la figure 10, f varie entre 1,6 et 1,9 ZHz !

Ce n'est certainement pas le terme " $\log f$ " qui est responsable des variations de T ,

$$\text{on peut donc le considérer constant : } \log T = \frac{2(Z-2)\alpha\pi\sqrt{2mc^2}}{\ln 10 \sqrt{\mathcal{E}_\alpha}} + C_2$$

$$32 \& 33) \quad w = A_m \mathcal{E}_\alpha \sim 30 \text{ W.kg}^{-1} \quad \text{La grandeur } \rho w \text{ représente l'émission thermique volumique (?)}$$

$$34-36) \quad u = 1,1 \cdot 10^4 \text{ W.m}^{-3} \quad \text{On applique le premier principe en régime stationnaire à l'intérieur cylindre :} \\ \phi(r) - \phi(r+dr) + 2\pi r H dr u = 0 \Leftrightarrow \frac{d\phi}{dr} = 2\pi r H u \quad \phi(r) = 2\pi r H j_{th,r} = -2\pi r H \lambda \frac{dT}{dr}$$

$$37) \quad \phi(r) = \pi r^2 H u \quad (\text{Flux nul en } r=0) \quad \text{Puis } \mathbf{T}(r) = \mathbf{T}(R) - \frac{u(r^2-R^2)}{4\lambda}$$

$$38) \quad \text{La continuité du flux en } r=R \text{ se traduit par } h(\mathbf{T}(R) - \mathbf{T}_f) = \frac{Ru}{2}$$

En prenant $T_f = 12^\circ C$, on obtient sans ventilation $\mathbf{T}(R) = 149^\circ C \rightarrow \text{Le stockage n'est pas possible.}$
Alors que la condition $T_{max} = \mathbf{T}(0) = 281^\circ C < 510^\circ C$ était respectée.

Il faut donc attendre un peu, le temps nécessaire pour que $T(R) = 90^\circ C \rightarrow u' = 6,5 \cdot 10^3 \text{ W.m}^{-3}$
La cinétique de désintégration étant d'ordre 1, on obtient λ ainsi : $50\lambda = \ln 3 \rightarrow \lambda = 2,2 \cdot 10^{-2} \text{ an}$
Soit τ la durée d'attente, $u' = u \exp(-\lambda\tau) \rightarrow \tau \sim 24 \text{ ans}$

Au début de cette phase d'attente, avec ventilation et $T_f = 12^\circ C$ (?), on a $\mathbf{T}(R) = 61^\circ C < 90^\circ C$

$$39 \& 40) \quad O_2 + 4 e^- \rightleftharpoons 2 O^{2-} \quad E_T = E_{O_2/O^{2-}}^0 + \frac{RT}{4F} \ln\left(\frac{f_{O_2}}{P^0 a_{O^{2-}}^2}\right) \quad E_{ref} = E_{O_2/O^{2-}}^0 + \frac{RT}{4F} \ln\left(\frac{P_{O_2 \text{ ref}}}{P^0 a_{O^{2-}}^2}\right)$$

$$41) \quad E_T = E_{O_2/O^{2-}}^0 + \frac{0,06}{4} \log\left(\frac{f_{O_2}^*}{P^0 a_{O^{2-}}^2}\right) = E_{Ce^{4+}/Ce^{3+}}^0 \rightarrow \log\left(\frac{f_{O_2}^*}{P^0}\right) = \log a_{O^{2-}}^2 + \frac{4}{0,06} \left(E_{Ce^{4+}/Ce^{3+}}^0 - E_{O_2/O^{2-}}^0 \right)$$

$$42) \quad \log\left(\frac{a_{Ce^{3+}}}{a_{Ce^{4+}}}\right) = \frac{1}{0,06} \left(E_{Ce^{4+}/Ce^{3+}}^0 - E_{O_2/O^{2-}}^0 \right) - \frac{1}{4} \log\left(\frac{f_{O_2}}{P^0 a_{O^{2-}}^2}\right) = \frac{1}{4} \log\left(\frac{f_{O_2}^*}{f_{O_2}}\right)$$

43) a. Il faut **baisser la pression** : $P_{O_2 \text{ ref}} \downarrow \Rightarrow f_{O_2} \downarrow \Rightarrow a_{Ce^{3+}} \uparrow$

b. Il faut **augmenter la basicité** : $a_{O^{2-}} \uparrow \Rightarrow f_{O_2}^* \uparrow \Rightarrow a_{Ce^{3+}} \uparrow$

c. Il faut **ajouter de la matière réductrice** : $E_T \downarrow \Rightarrow a_{Ce^{3+}} \uparrow$

44) La troisième méthode ci-dessus est retenue, la fugacité en oxygène est maintenue sous le seuil de 1 atm à $1100^\circ C$, le moussage est évité ...

[Est-ce suffisant ? C'est un peu maigre pour une fin d'un si bon et long problème.]